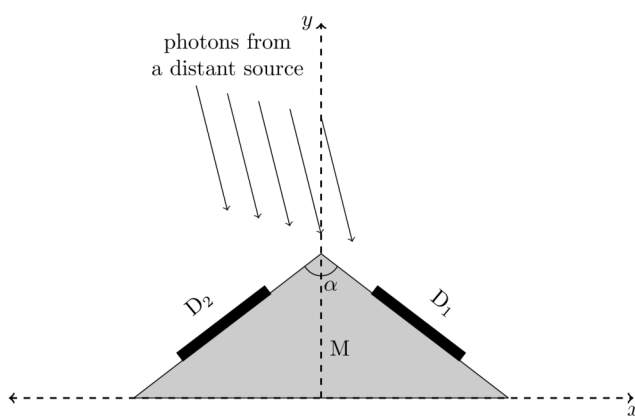


### [10 نقاط]

### (T01) بعثة داكشا

"داكشا" هي بعثة هندية مقتربة تتكون من قمرتين صناعيين  $S_1$  و  $S_2$  يدوران حول الأرض في نفس المدار الدائري ذي نصف القطر  $r = 7000 \text{ km}$  ولكن بفرق طور مقداره  $180^\circ$ . يرصد هذان القمران الصناعيان الكون في نطاق الطاقة العالية (أشعة X وأشعة γ). كل قمر من أقمار داكشا يستخدم عدة كواشف مسطحة ومستطيلة.

لفهم كيفية تحديد موقع مصدر الأشعة في السماء، سنستخدم نموذجاً مبسطاً لبعثة داكشا. لنفترض أن القمر الصناعي  $S_1$  يحتوي فقط على كاشفين متlappingين  $D_1$  و  $D_2$ ، مساحة كل منهما  $A = 0.50 \text{ m}^2$ ، مثبتين على قاعدة قبة  $M$  كما هو موضح في الشكل أدناه. يقع الكاشفان بشكل متناقض حول المحور  $y$  في مستويات عمودية على المستوى  $x-y$ ، وبينهما زاوية  $\alpha = 120^\circ$ .



(T01.1) عند رصد مصدر بعيد يقع في المستوى  $x-y$ ، يسجل الكاشف  $D_1$  قدرة مقدارها  $P_1 = 2.70 \times 10^{-10} \text{ J s}^{-1}$  ويسجل الكاشف  $D_2$  قدرة مقدارها  $P_2 = 4.70 \times 10^{-10} \text{ J s}^{-1}$

[5] قدر الزاوية  $\eta$  التي يصفعها متوجه المصدر مع المحور  $y$  الموجب، بحيث تُعتبر الزاوية عكس اتجاه عقارب الساعة من المحور  $y$  الموجب زاوية موجبة.

خذ مثلاً نبضة واحدة من مصدر بعيد (ليس بالضرورة في المستوى  $x-y$ ) تم تسجيلها بواسطة القمرتين  $S_1$  و  $S_2$  لبعثة داكشا. الزمن عند رصد قمم النبضات المسجلة بواسطة  $S_1$  و  $S_2$  هو  $t_1$  و  $t_2$  على التوالي.

(T01.2) إذا كانت قيمة  $t_2 - t_1$  قد قيّست لتكون  $10.0 \pm 0.1 \text{ ms}$ ، فاحسب الجزء  $f$  من الكرة السماوية الذي قد يقع فيه المصدر.

### [10 علامات]

### (T02) مكر-سانكريانتي

يُحتفل بمهرجان "مكر-سانكريانتي" في الهند عندما تبدو الشمس وكأنها تدخل منطقة برج الجدي (مكر = الجدي، سانكريانتي = الدخول) كما ترى من الأرض. يحتفل بالمهرجان حالياً حوالي 14 يناير من كل عام، قبل سنوات عديدة، تزامن هذا المهرجان أيضاً مع الانقلاب الشتوي في نصف الكرة الشمالي والذي نفترض حصوله في 21 ديسمبر.

(T02.1) بناءً على المعلومات المذكورة أعلاه، حدد السنة،  $y$ ، التي تزامن فيها آخر مرة الاحتفال بهذا المهرجان مع الانقلاب الشتوي في نصف الكرة الشمالي.

(T02.2) إذا بدت الشمس تدخل المنطقة البروبيتية لبرج الجدي حسب التوقيت المحلي لمومباي في تمام الساعة 11:50:13 في 14 يناير 2006، احسب التاريخ،  $D_{\text{enter}}$ ، والوقت المحلي،  $t_{\text{enter}}$ ، لدخولها برج الجدي في عام 2013.

(T02.3) يحتفل بمهرجان ماكار-سانكراanti في مكان معين في يوم أول غروب الشمس في المنطقة البروجية لبرج الجدي. يمكنك افتراض أن وقت غروب الشمس المحلي في مومباي في يناير هو الساعة 18:30:00.

حدد تاريخ الاحتفال بالمهرجان في كل عام بين 2006 و 2013 (بوضع علامة ✓ في المربع المناسب في الجدول المعطى في ورقة ملخص الإجابة).

#### [15] علامة

#### (T03) الموجات الثقالية

تُولد الثقوب السوداء الثنائية المدارية موجات ثقالية. ضع في اعتبارك ثقبين أسودين في مجرتنا بكتلتين  $m = 29 M_{\odot}$  و  $M = 36 M_{\odot}$  يدوران في مدارات دائريّة بتردد زاوي مداري  $\omega$  حول مركز كتلتهما.

(T03.1) بافتراض الجاذبية النيوتونية، اشتق، تعبيراً للتردد الزاوي،  $\omega_{\text{ini}}$ ، لمدارات الثقب الأسود في وقت،  $t_{\text{ini}}$ ، عندما كانت المسافة بين الثقوب السوداء 4.0 أضعاف مجموع نصف قطر شفارتزشيلد الخاص بهما، بدلالة  $M$  و  $m$ ، والثوابت الفيزيائية فقط.

[5] احسب قيمة  $\omega_{\text{ini}}$  (بوحدة  $\text{rad s}^{-1}$ ).

(T03.2) في النسبيّة العامة، تصدر الثقوب السوداء المدارية موجات جاذبية بتردد  $f_{\text{GW}}$ ، بحيث  $2\pi f_{\text{GW}} = \omega_{\text{GW}} = 2\omega$ . هذا يؤدي إلى انكماش مدارات الثقوب السوداء، مما يزيد بدوره من معدل تغير  $f_{\text{GW}}$ .

$$\frac{df_{\text{GW}}}{dt} = \frac{96\pi^{8/3}}{5} G^{5/3} c^{\beta} M_{\text{chirp}}^{\alpha/3} f_{\text{GW}}^{\delta/3},$$

$$\text{حيث } M_{\text{chirp}} = \frac{(mM)^{3/5}}{(m+M)^{1/5}} \text{ تسمى "الكتلة النبوية".}$$

[4] [4] أوجد قيم  $\alpha$ ،  $\beta$  و  $\delta$ .

[6] (T03.3) افترض أن موجات الجاذبية المرتبطة بالحدث تم اكتشافها لأول مرة عند الزمن  $t_{\text{ini}} = 0$ . اشتق تعبيراً للزمن المرصود لاندماج الثقب الأسود،  $t_{\text{merge}}$ ، عندما تصبح  $f_{\text{GW}}$  كبيرة جداً، بدلالة  $M_{\text{chirp}}$  و  $\omega_{\text{ini}}$ ، والثوابت الفيزيائية فقط. احسب قيمة  $t_{\text{merge}}$  (بالثواني).

#### [15] علامة

#### (T04) تناقص بالметр

اعتبر نجم من النسق الأساسي محاط بسديم. المقدار المرصود في النطاق  $\lambda$  للنجم هو 11.315 mag. تبعه المنطقة المتأينة من السديم القريبة من النجم خطوط  $H\alpha$  و  $H\beta$ ، حيث أطوالها الموجية هي  $0.6563 \mu\text{m}$  و  $0.4861 \mu\text{m}$  على التوالي. نظرياً، النسبة المتوقعة للنسبة بين تدفق  $H\alpha$  إلى تدفق  $H\beta$  هي  $f_{H\alpha}/f_{H\beta} = 2.86$ . ومع ذلك، عند مرور هذا الإشعاع عبر الجزء الخارجي البارد من السديم، كانت التدفقات المرصودة لخطوط  $H\alpha$  و  $H\beta$  تساوي  $6.80 \times 10^{-15} \text{ W m}^{-2}$  و  $1.06 \times 10^{-15} \text{ W m}^{-2}$  على التوالي.

يعبر عن الإعتمام ( $A_{\lambda}$ ) كدالة في الطول الموجي كما يلي:

$$A_\lambda = \kappa(\lambda) E(B - V).$$

حيث إن  $\kappa(\lambda)$  هو منحنى الإعتمام، و  $E(B - V)$  هو الفرق اللوني في مرشدي  $B$  و  $V$ . يعطى منحنى الإطفاء (حيث  $\lambda$  بوحدة ميكرومتر) كما يلي:

$$\kappa(\lambda) = \begin{cases} 2.659 \times \left( -1.857 + \frac{1.040}{\lambda} \right) + R_V, & 0.63 \leq \lambda \leq 2.20 \\ 2.659 \times \left( -2.156 + \frac{1.509}{\lambda} - \frac{0.198}{\lambda^2} + \frac{0.011}{\lambda^3} \right) + R_V, & 0.12 \leq \lambda < 0.63 \end{cases}$$

حيث إن  $R_V$  هو نسبة الإعتمام الكلي إلى الانتقائي.

[3] أوجد قيم  $\kappa(H\beta)$  و  $\kappa(H\alpha)$  (T04.1)

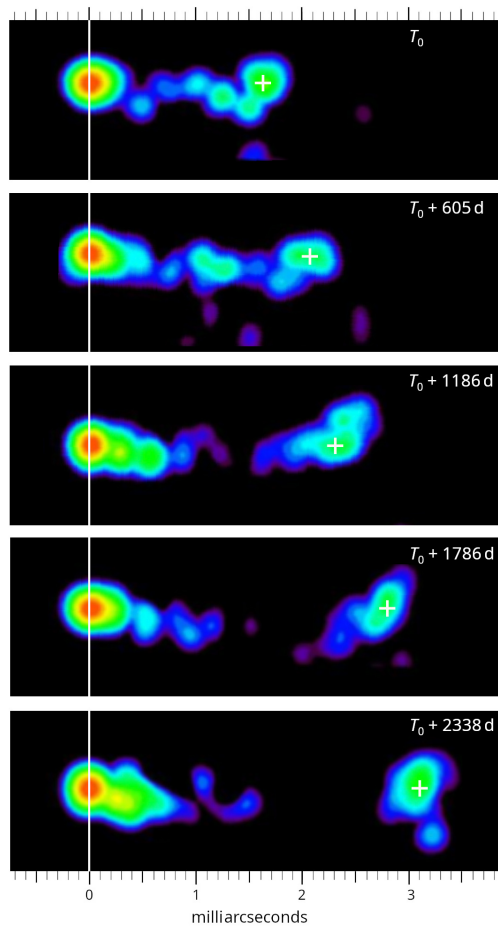
[4] أوجد قيمة نسبة الفرق اللوني  $\frac{E(H\beta - H\alpha)}{E(B - V)}$  (T04.2)

[6] [6] قدر قيمة الإعتمام الناتج عن السديم،  $A_{H\alpha}$  و  $A_{H\beta}$  عند الأطوال الموجية  $H\alpha$  و  $H\beta$  على التوالي. (T04.3)

[2] قدر قيمة الإعتمام الناتج عن السديم ( $A_V$ ) والقدر الظاهري للنجم في النطاق  $V_0$ ،  $m_{V_0}$ ، في حالة غياب السديم. (T04.4)

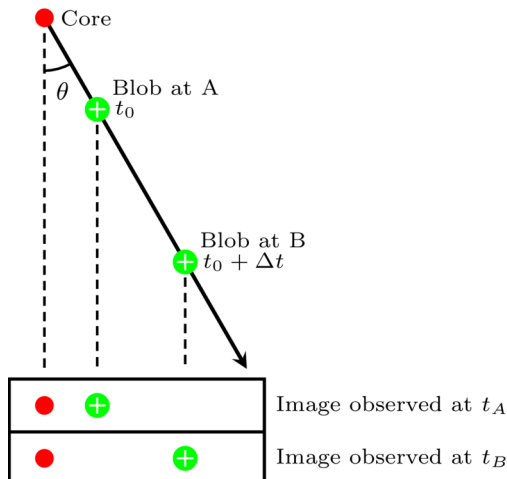
#### [20] علامة (T05) الكوازارات

الكوازار هو مجرة نشطة شديدة اللمعان بسبب ثقب أسود فائق الكتلة ينبعث منه نفاثات سرعتها قريبة من سرعة الضوء. يوضح الشكل سلسلة من اللوحات لصور راديوية للكوازار (دو انزياح أحمر  $z = 0.53$  ومسافة  $D_L = 1.00 \times 10^{10}$  سنة ضوئية) في أربعة متوالية. ثبتت "النواة" على الخط الأبيض العمودي، بينما تتحرك نفاثة مكونة من "فقاعة مشعة" (مشار إليها بـ + أبيض) متعددة عن النواة بمرور الوقت. تظهر كل لوحة زمن الرصد (بدءاً من  $T_0$  للصورة الأولى)، ويتم الإشارة إلى المقياس الزاوي في أعلى وأسفل الشكل.



- [5] (T05.1) احسب المسافة الزاوية للفقاقة المشعة ( $\phi_{blob}$  (بوحدة الميلري ثانية قوسية) والمسافة الفعلية لها) ( $l_{blob}$  (transverse distance)) عن نواة الكوازار لكل عملية رصد. بعد ذلك، احسب السرعة الظاهرية للكتلة في اتجاه الحركة ( $v_{app}$ ) كنسبة من سرعة الضوء ( $c$ ) باستخدام المشاهدات المتتالية. واحسب ايضاً متوسط السرعة الظاهرية  $\beta_{app}^{ave}$  خلال كامل فترة الرصد.

يندفع نفاث الكوازار بسرعة عالية جداً  $\beta c \equiv v$ ، ولكنه لا يتحرك بالضرورة في مستوى السماء؛ يعني أنه يصنع زاوية  $\theta$  (وهي "زاوية الرؤية") مع خط الرؤية لراصد (كما هو موضح بالخطوط المقطعة) في الرسم التخطيطي أدناه. في هذا الجزء وجميع الأجزاء اللاحقة، تجاهل الانزياح نحو الأحمر للكوازار وأي تأثيرات نسبية.



(T05.2) يصل الضوء المنبعث من الفقاعة المشعة عند زعدين مختلفين  $t_0 + \Delta t_g$  (ويقابل الموضع A) و(ويقابل الموضع B) إلى الراصد عند  $t_A$  و  $t_B$  على التوالي. وبالتالي تكون الفترة الزمنية بين الرصد़ين هي  $\Delta t_{app} = t_B - t_A$ .

[2] 
$$\frac{\Delta t_{app}}{\Delta t} \text{ بدلالة } \beta \quad (\text{T05.2a})$$

[2] (T05.2b) باستخدام هذه النسبة، عُّبر عن  $\beta_{app}$  بدلالة  $\beta_g$ .

(T05.3) تُسمى الدرجة "فوق ضوئية" إذا تجاوزت السرعة الظاهرية سرعة الضوء ( $\beta_{app} > 1$ ), وتُسمى "تحت ضوئية" إذا لم تتجاوزها ( $\beta_{app} < 1$ ).

[4] (T05.3a)  $l = \beta_{app}$ , ارسم منحنى انتسيابي لـ  $\beta$  كدالة في  $\theta$  لتحديد الحد الفاصل بين الحركات التحت ضوئية والفوق ضوئية. ظلل منطقة الحركة فوق ضوئية في الرسم بخطوط مائلة (///).

[2] (T05.3b) أوجد أقل سرعة حقيقة للنفاث ( $v_{low} = c/\beta_{low}$ ) التي تسمح بحدوث الحركة فوق ضوئية، وكذلك زاوية الرؤية عند تلك الحالة.

[2] (T05.4) أوجد صيغة رياضية لإيجاد أعلى قيمة ممكنة لزاوية الرؤية  $\theta_{max}$  عند قيمة معينة للسرعة الظاهرية  $\beta_{app}$ .

تظهر نواة الكوازار (وهي الجسم المدمج المركزي فيه)، تغيرات في انبعاثاتها بسبب العمليات الداخلية التي تحدث ضمن منطقة مترابطة سبيلاً. ويُعتبر نصف قطر هذه المنطقة عادة حوالي خمسة أضعاف نصف قطر شفارتزشيلد للنواة.

(T05.5) وُجد أن نواة كوازار معين تغير على مقياس زمني يقارب ساعة واحدة. احسب حدًا أعلى،  $M_{c,\backslash,max}$ ، لكتلة الجسم المدمج المركزي، بوحدات كتلة الشمس.

## 20 علامة

## (T06) دوران المجرة

يتم تحديد منحنى دوران مجرتنا باستخدام قياسات السرعة على طول خط الرؤية لسحب الهيدروجين الأحادي (HI) على طول خطوط الطول المجرية المختلفة، والتي تلاحظ من خلال خط 21 سم من الهيدروجين الأحادي. اعتبر سحابة HI بخط طولجري  $l$ ، تقع على مسافة  $R$  من مركز المجرة (GC) وعلى مسافة  $D$  من الشمس. اعتبار أن الشمس تقع على مسافة  $R_0 = 8.5 kpc$  من مركز المجرة. افترض أن كل من الشمس وسحابة HI في مدارات دائيرية حول مركز المجرة في المستوى المجري، مع سرعات زاوية  $\Omega_0$  و  $\Omega$ ، وسرعات دورانية  $V_0$  و  $V$  على التوالي.

يمكن التعبير عن مكونات السرعة على طول خط الرؤية ( $V_r$ ) والسرعة العرضية ( $V_t$ ) للسحابة، كما تلاحظ من الشمس، على النحو التالي:

$$V_r = (\Omega - \Omega_0)R_0 \sin l$$

$$V_t = (\Omega - \Omega_0)R_0 \cos l - \Omega D$$

عند النظر من القطب المجري الشمالي، يكون دوران المجرة في اتجاه عقارب الساعة. طوال هذه المسألة، سنعتبر السرعة على طول خط الرؤية موجبة عندما تكون مبنوعدة، وستعامل السحب كأجسام نقطية.

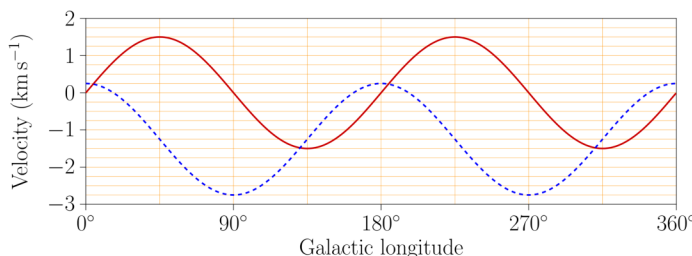
[5] في الرسم البياني المقدم في ورقة الإجابات الملحقة، ارسم  $V_r$  كدالة لـ  $D$  من 0 إلى  $D = 2R_0$  لخطين من خطوط الرؤية المحددة بواسطة

$$\text{i) } l = 45^\circ$$

$$\text{.ii) } l = 135^\circ$$

قم بتنسقية كل من خطوطك/منحنياتك بقيمة  $l$ .

[6] يظهر الرسم البياني أدناه متوسط المكونات الشعاعية (المنحنى الأحمر المتصل) والمستعرضة (المنحنى الأزرق المتقطع) للسرعة للنجوم على بعد 100 فرسخ فلكي من الشمس، مرسومة كدالة لطول المجرة



باستخدام الرسم البياني، قم بتقدير فترة دوران الشمس ( $P$ ) حول مركز المجرة بالميغا سنة [3]. (Myr)

[7] لاحظ جان أورت أنه في جوار النظام الشمسي ( $D \ll R_0$ )، سيكون الفرق في السرعات الزاوية ( $\Omega - \Omega_0$ ) صغيراً، وبالتالي، استنتج التقرير من الدرجة الأولى للمكونات السرعة على خط الرؤية والسرعة العرضية:

$$V_r = AD \sin 2l$$

$$V_t = AD \cos 2l + BD$$

حيث  $A$  و  $B$  يُعرفان بثوابت أورت.

دعونا نعتبر حالتين:

- (I) منحنى الدوران الفعلي المرصود للمجرة، و
- (II) منحنى الدوران لسيناريو افتراضي حيث تكون المجرة خالية من المادة المظلمة ويفترض أن تكون كتلة المجرة كلها مركزة في مركزها.

[8] استنتاج التعديلات الخاصة بتدرج السرعة الدورانية الشعاعية عند موقع الشمس، [2]

$$\left. \frac{dV}{dR} \right|_{R=R_0}, \text{ للحالتين.}$$

[9] عبر عن  $A$  و  $B$  بدلالة  $R_0$ ,  $V_0$ , و تدرج السرعة الدورانية الشعاعية عند موقع الشمس، [2]

$$\left. \frac{dV}{dR} \right|_{R=R_0}$$

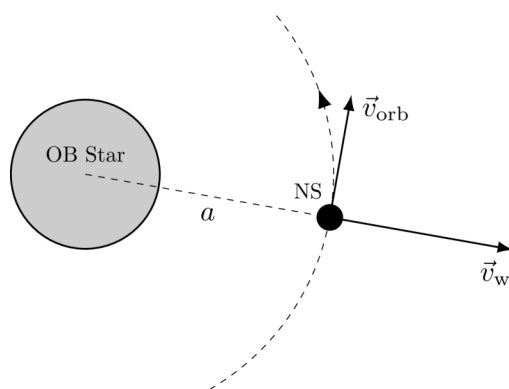
[10] نسبة ( $A/B$ ) لثوابت أورت للحالتين المعطيتين، (I) و (II)، تُعرف بـ  $F_I$  و  $F_{II}$ ، على التوالي. حدد  $F_I$  و  $F_{II}$ . [2]

[20] علامة

(T07) نظام ثنائي لنجم نيوتروني

في نظام ثنائي يتضمن نجماً مضغوطاً، حيث لا يفيض النجم المرافق عن فصه روشن، يكون المصدر الرئيسي للترابم للنجم المضغوط هو الرياح النجمية من النجم المرافق. يكون هذا الترابم المعتمد على الرياح ذات أهمية خاصة في الأنظمة التي تشتمل نجماً من النوع المبكر (مثل نجم O أو B، المشار إليه فيما بعد كنجم OB)، إلى جانب جسم مضغوط مثل نجم نيوتروني (NS) في مدار قريب.

اعتبر نظاماً ثنائياً من نوع NS-OB حيث يدور نجم نيوتروني بكتلة  $M_{\text{NS}} = 2.0 M_{\odot}$  ونصف قطر  $a = 11 \text{ km}$  في مدار دائري ينصف قطر  $a$  حول مركز نجم OB بسرعة  $v_{\text{orb}} = 1.5 \times 10^5 \text{ m s}^{-1}$  (انظر الشكل أدناه). طوال هذه المسألة، يفترض أن فقدان الكتلة من نجم OB يكون متماثلاً كروياً ومعدل فقدانه هو  $\dot{M}_{\text{OB}} = 1.0 \times 10^{-4} M_{\odot} \text{ yr}^{-1}$ .



[3] (T07.1) يُعرف نصف قطر التراكب،  $R_{\text{acc}}$ ، على أنه أقصى مسافة من النجم النيوتروني (NS) يمكن عندها التقاط الرياح النجمية بواسطة النجم النيوتروني. إذا كانت سرعة الرياح النجمية عند المسافة المدارية للنجم النيوتروني هي  $v_w = 3.0 \times 10^6 \text{ m s}^{-1}$  للنظام المذكور أعلاه بالكيلومترات باستخدام حساب سرعة الهروب القياسية.

[3] (T07.2) بافتراض أن كل المادة الملقطة تترابم بواسطة النجم النيوتروني، قم بتقدير معدل تراكب  $\dot{M}_{\text{acc}}$  الكتلة، من الرياح النجمية إلى النجم النيوتروني بوحدات  $M_{\odot} \text{ yr}^{-1}$ . إذا كان  $a = 0.5 \text{ au}$ . تجاهل تأثيرات ضغط الإشعاع ووقت التبريد المحدود للغاز المتراكب.

[6] (T07.3) الآن، ضع في اعتبارك الحالة التي تصبح فيها سرعة الرياح النجمية عند المسافة المدارية  $a$  (بالقرب من النجم النيوتروني) قابلة للمقارنة مع سرعة النجم النيوتروني المدارية. سيكون معدل تراكب الكتلة من الرياح النجمية على النجم النيوتروني في هذه الحالة معطى بتعبير من الشكل  $\dot{M}_{\text{acc}} = \dot{M}_{\text{OB}} f(\tan \beta, q)$ ، حيث  $q = M_{\text{NS}}/M_{\text{OB}}$  هو نسبة الكتلة للنظام الثنائي و  $\beta$  هو الزاوية في إطار النجم النيوتروني بين اتجاه سرعة الرياح والاتجاه الشعاعي إلى النجم OB. احصل على التعبير  $f(\tan \beta, q)$  بافتراض  $\dot{M}_{\text{OB}} \gg M_{\text{NS}}$ .

(T07.4) اعتبر أن المادة المؤينة بالكامل تترابم بشكل شعاعي وتعيق بسبب المجال المغناطيسي القوي  $\vec{B}$  للنجم النيوتروني. يمكن نعذجة هذا التأثير كضغط، يعطى بواسطة  $\frac{B^2}{2\mu_0}$ . سنفترض أن النجم النيوتروني لديه مجال مغناطيسي ثنائي القطب تتغير قوته في المستوى الاستوائي مع المسافة  $r$  من النجم النيوتروني لـ  $r \gg R_{\text{NS}}$  كالتالي

$$B(r) = B_0 \left( \frac{R_{\text{NS}}}{r} \right)^3$$

حيث  $B_0$  هو المجال المغناطيسي عند خط الاستواء للنجم النيوتروني. افترض أن محور ثنائي القطب المغناطيسي ينبعشى مع محور دوران النجم النيوتروني.

[1] احسب الضغط المغناطيسيي،  $P_{\text{eq,mag}}$ ، في المستوى الاستوائي من حيث  $B_0$ ،  $R_{\text{NS}}$ ،  $r$ ، وثوابت أخرى مناسبة. (T07.4a)

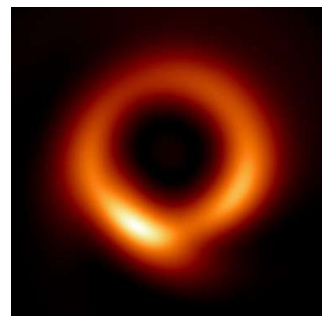
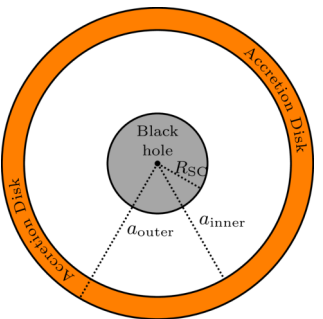
[7] أقصى مسافة حيث يتوقف تدفق التراكم بواسطة المجال المغناطيسي عند خط الاستواء تُسمى نصف القطر المغناطيسي  $R_m$ . هذا التدفق للمادة سيؤدي إلى ضغط بسبب الحركة النسبية بين الرياح النجمية القادمة والنجم النيوتروني. احصل على تعبير تقريري للمجال المغناطيسيي الحرج  $B_{0,c}$  الذي يتزامن فيه  $R_m$  مع  $R_{\text{acc}}$  واحسب قيمة بوحدة تسلا. يتم إهمال التأثيرات المغناطيسية لـ  $r > R_m$  واعتبر  $v_w \gg v_{\text{orb}}$  (T07.4b)

## 20 علامة

## (T08) ظل الثقب الأسود

نشر تلسكوب أفق الحدث (EHT) صورة للثقب الأسود فائق الكتلة في مركز مجرة M87 كما هو موضح في اللوحة اليمنى من الشكل أدناه.

لفهم بعض الخصائص البسيطة لهذه الصورة، سنعتبر نموذجًا مبسًّاً لثقب أسود غير دوار و ساكن و كروي التفائل بكتلة  $M = 6.5 \times 10^9 M_\odot$  محاط بقرص تراكمي رقيق مستوى عديم الكتلة بنصف قطر داخلي وخارجي، على التوالي، حيث  $R_{\text{SC}} = 10R_{\text{SC}}$  و  $a_{\text{inner}} = 6R_{\text{SC}}$  في اللوحة اليمنى من الشكل أدناه يظهر رسم تخطيطي للمنظر قن الأمام (الشكل ليس بمقاييس رسم دقيق).



نفترض أن قرص التراكم هو المصدر الوحيد للضوء الذي سيتم اعتباره، كل نقطة على القرص تبعث الضوء في جميع الاتجاهات. يسير هذا الضوء تحت تأثير المجال القاذبي للثقب الأسود. يحكم مسار أشعة الضوء معادلات معطيات أدناه (وهما مشابهتان لمعادلات جسم حول الشعاع):

$$\frac{1}{2}v_r^2 + \frac{L^2}{2r^2} \left(1 - \frac{2GM}{c^2r}\right) = E \quad ; \quad v_\phi = r\omega = \frac{L}{r}$$

حيث ( $r \in (R_{\text{SC}}, \infty)$  هو الإحداثي الشعاعي،  $\phi \in [0, 2\pi]$  هي الزاوية السمتية، و  $E$  و  $L$  هما ثابتان مرتبطان بالطاقة المحفوظة والزخم الزاوي المحفوظ، على التوالي).

هنا  $v_r \equiv dr/dt$  هي مقدار السرعة الشعاعية و  $v_\phi$  هي مقدار السرعة المماسية، و  $\omega \equiv d\phi/dt$  هي السرعة الزاوية. نعرف معامل التأثير  $b$  للمسار بأنه  $b = L/\sqrt{2E} \cdot b$ . تم إهمال تعدد الزمن في هذه المسألة.

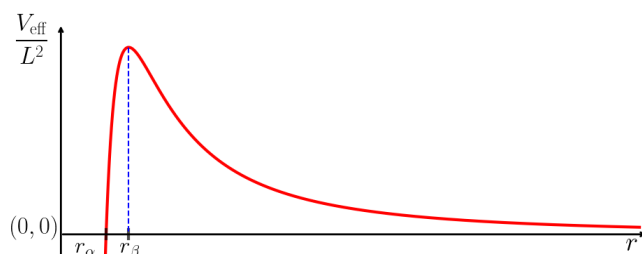
معادلة مفيدة أخرى يتم الحصول عليها من خلال تفاضل المعادلة الأولى:

$$\frac{dv_r}{dt} - \frac{L^2}{r^3} + \frac{3GML^2}{c^2r^4} = 0$$

[4] يمكن أن توجد مسارات ضوئية دائرية حول الثقب الأسود. أوجد نصف القطر،  $r_{\text{ph}}$ ، ومعامل التأثير،  $b_{\text{ph}}$ ، لمثل هذه المسارات الفوتونية بدالة  $M$  والثوابت ذات الصلة. (T08.1)

[2] احسب الزعن،  $T_{ph}$ ، المستغرق لإكمال مدار كامل للمسار الضوئي الدائري بالثواني. (T08.2)

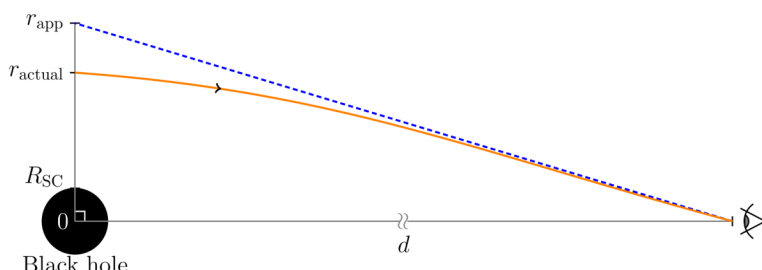
(T08.3) يمكن مقارنة معادلة السرعة الشعاعية المذكورة أعلاه (المعادلة الأولى في هذا السؤال) مع معادلة من الشكل  $V_{\text{eff}}(r) = E/L^2 + \frac{v^2}{2}$  لمسارات الضوء. يظهر أدناه رسم تخطيطي لـ  $V_{\text{eff}}/L^2$  كدالة لـ  $r$ .



[2] يشير الرسم البياني إلى نصف قطر خاصين هما  $r_\alpha$  و  $r_\beta$ . استنتج تعابيرات لـ  $r_\alpha$  و  $r_\beta$  بدلالة  $M$  والثوابت ذات الصلة. (T08.3a)

(T08.3b) يمكن للفوتون المتوجه للداخل من قرص التراكم نحو الثقب الأسود أن يهرب إلى ما لا نهاية في بعض الحالات. جد التعبر لأصغر قيمة لنصف قطر نقطة الانعطاف،  $r_t$ ، لمثل هذا الفوتون، بدلالة  $M$  والثوابت ذات الصلة. جد التعبر للقيمة الدنيا لمعامل التأثير،  $b_{\min}$ ، لهذا الفوتون.

(T08.4) شعاع من الضوء قادم من نصف قطر  $r_{\text{actual}}$  من مركز النظام في مستوى السماء سيعلاني من انحناء شديد بسبب جاذبية الثقب الأسود، وسيصل في النهاية إلى راصد (مشار إليه برسمة عين) على مسافة كبيرة  $d$  من النظام، كما هو موضح أدناه.

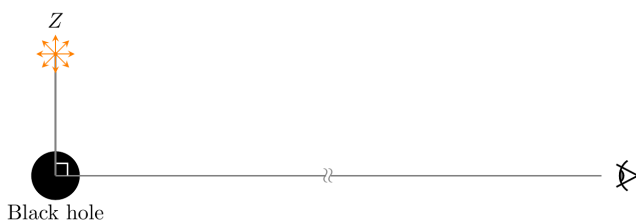


بالنسبة لهذا الراصد، سيبدو أن الشعاع قد نشأ من نقطة مختلفة على مسافة  $b$  من مركز الثقب الأسود في مستوى السماء، حيث  $b$  هو معامل التأثير لمسار الفوتون. لل نقاط على قرص التراكم عند  $r = r_{\text{actual}}$ ، يمكن افتراض العلاقة التالية:

$$b(r_{\text{actual}}) \approx r_{\text{actual}} (1 + R_{\text{SC}}/r_{\text{actual}})^{1/2}$$

[5] بالنسبة لراصد بعيد، مثلنا، مع رؤية مواجهة لقرص التراكم، ستنظر صورة النظام متماضية دائرياً في مستوى السماء. حدد نصف القطر الظاهري الخارجي،  $r_{\text{outer}}$ ، ونصف القطر الظاهري الداخلي،  $r_{\text{inner}}$ ، للصورة بوحدات الوحدة الفلكية.

(T08.5) أفترض ثقب أسود معزول هائل الكتلة، كتلته  $M = 6.5 \times 10^9 M_{\odot}$  بدون أي قرص تراكمي. يحدث انفجار قوي وقصير من الإشعاع الكهرومغناطيسي لمدة 5 ثوان عند نقطة Z على مسافة، لنقل،  $r_Z = 6R_{SC}$  من الثقب الأسود كما هو موضح في الشكل. ينبعث من الانفجار عند النقطة Z ضوء في جميع الاتجاهات. يلتقط راصد عند نقطة بعيدة عن الثقب الأسود (يشار إليه بعين في الشكل أدناه) صورة ذات تعريض طويل للمنطقة المحيطة بالثقب الأسود لمدة 60 ثانية.



اختر الخيار الصحيح لكل من العبارات التالية:

- [2] (T08.5a) عدد المسارات المحتملة للضوء للانتقال من Z إلى الراصد هو  
 (A) واحد على الأكثر (B) واحد بالضبط (C) اثنان بالضبط (D) أكثر من اثنين.

- [2] (T08.5b) عدد صور انفجار الموجات الكهرومغناطيسية عند Z التي ستظهر في الصورة ذات التعرض الطويل هو  
 (A) واحدة على الأكثر (B) واحدة بالضبط (C) اثنان بالضبط (D) أكثر من اثنين.

### 35 علامة

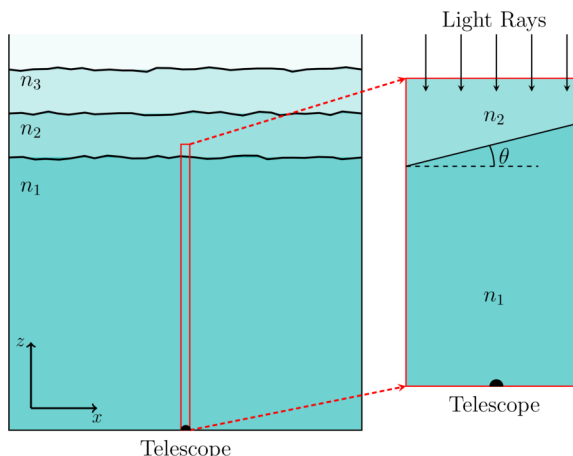
### (T09) الرؤية الجوية

تم توجيه تلسكوب بعدسة هدف محدبة أكروماتية قطرها  $D = 15 \text{ cm}$  وطول بؤري  $f = 200 \text{ cm}$  نحو نجم في سمت الرأس.

- [1] (T09.1) أوجد قطر (المتر)،  $d_{image}$ ، لصورة مصدر نقطي كما تنتجها العدسة الشبيهة في مستواها البؤري للضوء الأخضر ( $\lambda = 550 \text{ nm}$ )، مع الأخذ في الاعتبار تأثيرات الحيود فقط.  
 تتأثر صورة المصدر الفلكي أيضًا بما يسمى "الرؤية الجوية".

تتغير الحدود بين الطبقات في الغلاف الجوي وكذلك معاملات الانكسار للطبقات باستمرار بسبب الاضطرابات وتغير درجات الحرارة وعوامل أخرى. يؤدي هذا إلى تغييرات صفراء في موضع الصورة في المستوى البؤري للتلسكوب، وهو ما يُعرف بـ "تأثير الوميض". بالنسبة لحقيقة المسألة، وبخروف النظر عن استخدام الحجم المحدود للصورة النجمية المحدود بالحيود (كما استخدم أعلاه)، لن يتم النظر في أي تأثيرات تداخل.

يوضح الجزء الأيسر من الشكل أدناه مقطعاً عمودياً للغلاف الجوي مع طبقات متعددة ذات معاملات انكسار مختلفة (...). يظهر الجزء الأيمن منظراً م Kirby لشريحة عمودية رفيعة من الغلاف الجوي والحد بين أدنى طبقتين جويتين بمعاملتي انكسار  $n_1$  و  $n_2$  ( $n_1 > n_2$ ). تأخذ في الاعتبار فقط هاتين الطبقتين والحد بينهما لهذه المسألة. الرسومات ليست بمقاييس دقيق.



(T09.2) لتكن الحدود بين الطبقتين على ارتفاع  $H = 1\text{ km}$  فوق عدسة التلسكوب، مع ميل  $\theta = 30^\circ$ ; بالنسبة للمستوى الأفقي. في جميع أجزاء هذه المسألة يتم اعتبار  $\theta$  موجبة في الاتجاه عكس عقارب الساعة. بالنسبة لمصدر ضوء أحادي اللون،  $n_1 = 1.00027$  و  $n_2 = 1.00026$  و  $n_3 = 1.00026$ . ليكن الانزياح الزاوي للصورة في المستوى البؤري للتلسكوب لنجم في السماء هو  $\alpha$ .

[2] ارسم مخططاً شعاعياً مناسباً مع وضع العلامات عند الحد الفاصل موضحاً  $n_1$  و  $n_2$  و  $n_3$  و  $\alpha$  و  $\theta$  [T09.2a]

[2] أوجد تعبيراً لـ  $\alpha$  بدلالة  $n_1$  و  $n_2$  و  $n_3$ . استخدم تقريرات الزاوية الصغيرة:  $\alpha \approx \sin \alpha \approx 1$  و  $\cos \alpha \approx 1$  [T09.2b]

[3] احسب الإزاحة،  $\Delta x_\theta$  (بالمتر)، في موضع الصورة إذا زادت  $\theta$  بنسبة 1% (مع الحفاظ على  $n_1$  و  $n_2$  ثابتين). [T09.2c]

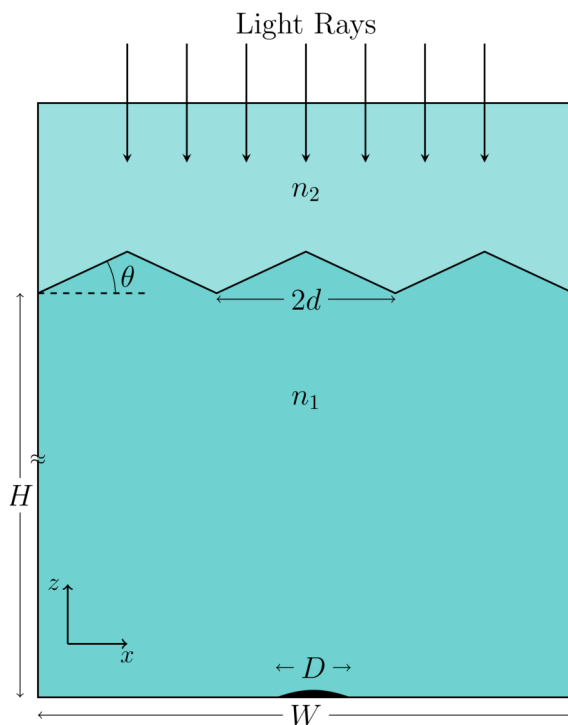
[3] احسب الإزاحة،  $\Delta x_n$  (بالمتر)، في موضع الصورة إذا زادت  $n_2$  بنسبة 0.0001% (مع الحفاظ على  $n_1$  و  $\theta$  ثابتين). [T09.2d]

[2] بالنسبة للضوء الأبيض القادم من نجم في سمت الرأس، اختر أيّاً مما يلي يصف بشكل أقرب شكل ولون الصورة عن طريق وضع علامة (✓) في المربع المناسب (واحد فقط) في ورقة ملخص الإجابة. لاحظ أن  $x$  يزداد من اليمين إلى اليسار في الشكل.

| الحافة اليمنى | الحافة اليسرى | شكل الصورة | لون الصورة |
|---------------|---------------|------------|------------|
|               |               | دائي       | أبيض A     |
|               |               | بيضاوي     | أبيض B     |
| أحمر          | أزرق          | دائي       | ملون C     |
| أزرق          | أحمر          | دائي       | ملون D     |
| أحمر          | أزرق          | بيضاوي     | ملون E     |
| أزرق          | أحمر          | بيضاوي     | ملون F     |

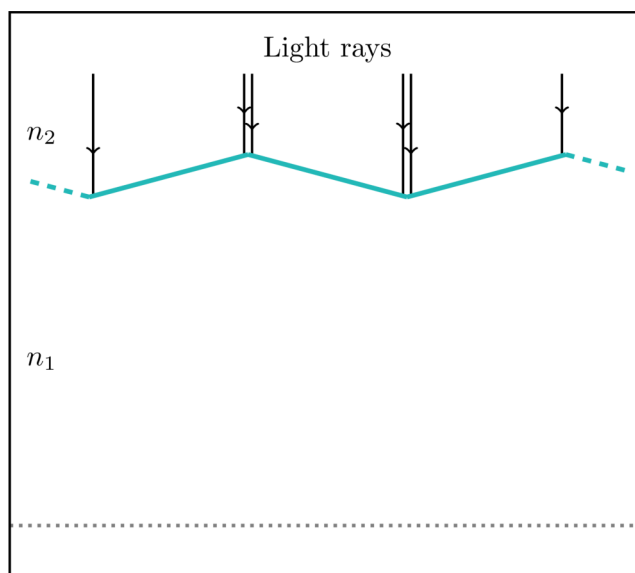
بالنسبة لجميع الأجزاء المتبقية من هذا السؤال، نعتبر ضوء أحادي اللون بطول موجي  $\lambda = 550\text{ nm}$  يقوم بنمذجة الحدود بين الطبقات كمجموعة من المستويات المتعرجة اللانهائية (تمتد عمودياً على مستوى الصفحة) مفصولة بمسافة  $d = 10\text{ cm}$  على طول العзор  $x$ , مع إما  $\theta = 10^\circ$  أو  $\theta = -10^\circ$ .

يوضح الشكل أدناه (ليس بمقاييس رسم دقيق) مقطعاً عرضياً لهذا النموذج للغلاف الجوي بعرض  $W$  (و  $W \ll H$ ). بالنسبة للتلسكوبات ذات الفتحة الكبيرة، تؤدي هذه الطبيعة المتعرجة للحدود إلى تكوين بقع في المستوى البؤري.



(T09.4) فكر في الغلاف الجوي الذي تم نمذجته كما هو موضح أعلاه.

(T09.4a) يظهر في الرسم البياني أدناه (ليس بمقاييس) قسم من الغلاف الجوي به مستويات متعرجة متتالية، بنفس المعلمات المذكورة أعلاه.



في هذا الرسم البياني، المستنسخ في ورقة ملخص الإجابة، ارسم مسارات أشعة الضوء الساقطة حتى المستوى الذي يوضع فيه عدسة التلسكوب، والمبين بالخط المنقط الرمادي.

[4] حدد المنطقة (المناطق)، إن وجدت، بعلامة "X" في الرسم البياني حيث لن تصل إليها أشعة الضوء.

[3] (T09.4b) احسب عرض  $W_X$  لهذه المنطقة (المناطق).

- [4] (T09.4c) جد أكبر قطر،  $D_{\max}$ ، لعدسة التلسكوب والذي سيكون من الممكن به الحصول على صورة واحدة لنجم، من خلال اختيار موقع التلسكوب بشكل مناسب بالنسبة لبنية الحدود.

- [6] (T09.5) فكر في الحالة التي يسمح فيها بالشكل المتعرج للحدود في كلا الاتجاهين  $x$  و  $y$  (مثل حقل  $f = 200\text{cm}$  مع  $D = 100\text{cm}$ ). من الأهرامات)، و

رسم النمط النوعي للبقع الناتجة في المربع المعطى في ورقة ملخص الإجابة.

- [5] (T09.6) بالنسبة للغلاف الجوي المضطرب، ضع في اعتبارك مرة أخرى نفس الشكل المتعرج المتوازي لطبقة الحدود فقط على طول اتجاه  $x$ ، ولكن الآن تغير الزاوية بين المستويين بمعدل منتظم من  $10^\circ$  إلى  $-10^\circ$  في 1.0 ثانية. افترض أن هذا يؤدي إلى معدل منتظم لتحول موضع الصورة.

ضع في اعتبارك تلسكوبًا بقطر  $D = 8\text{cm}$  وبعد بؤري  $f = 1\text{m}$ . قدر أطول وقت تعرض  $t_{\max}$  مسموح به لكاميرا CCD الخاصة به بحيث يتم الحصول على صورة واحدة فقط، وأي انحراف محتمل في موضعها يبقى أقل من 1% من قطر الصورة المحدود بالديوب.

### 35 علامة

### (T10) التكوين النووي للانفجار العظيم

خلال عصر غالبية الاشعاع في الكون المبكر، كان عامل مقاييس الكون  $a \propto t^{1/2}$  حيث  $t$  هو الوقت منذ الانفجار العظيم. خلال معظم هذا القصر، يقيّم النيوترونات ( $n$ ) والبروتونات ( $p$ ) في توازن حراري مع بعضها البعض عبر التفاعلات الضعيفة. ترتبط الكثافة العددية ( $N$ ) للنيوترونات أو البروتونات الحرة بدرجة الحرارة  $T$  وكتلها المقابلة  $m$  بحيث

$$N \propto m^{3/2} \exp\left(-\frac{mc^2}{k_B T}\right),$$

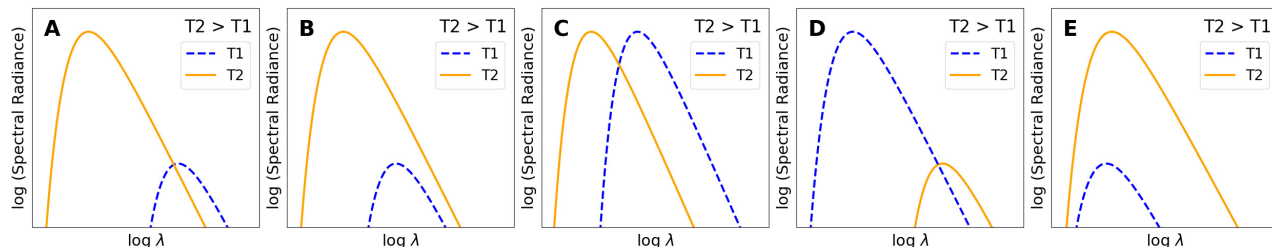
طالما أن الوقت  $s$  عندما  $t \leq t_{\text{wk}}$  ،  $k_B T \geq k_B T_{\text{wk}} = 800 \text{ keV}$  . بعد ذلك لا يمكن للتفاعلات الضعيفة الحفاظ على هذا التوازن، وتتحلل النيوترونات الحرة إلى بروتونات بعمر نصف قدره 610.4 ثانية.

- [4] (T10.1) لفترض أن الكثافة العددية للبروتونات هي  $N_p$ ، ولنيوترونات هي  $N_n$ . احسب الوفرة النسبية  $X_{n,\text{wk}} = N_n / (N_n + N_p)$  عند الزمن  $t_{\text{wk}}$ .

(T10.2) تحافظ الفوتونات على التوازن الحراري وتحتفظ بطيف الجسم الأسود في جميع العصور.

- [2] (T10.2a) أوجد المؤشر  $\beta$ ، بحيث  $T(a) \propto a^\beta$

- [2] (T10.2b) حدد أي من الرسوم البيانية التالية يظهر السلوك الصحيح للكثافة الطيفية للطاقة لدرجتي درارة  $T_1$  و  $T_2$ . ضع علامة (✓) على الخيار الصحيح في ورقة ملخص الإجابة.



(T10.3) بعد مدة زمنية  $t_{\text{wk}}$ , تخضع عملية تكوين الديوتيريوم من البروتونات والنيوترونات لمعادلة ساها, التي قدمها الفيزيائي الهندي البروفيسور ميغناد ساها, والتي يمكن تبسيطها إلى

$$\frac{N_D}{N_n} = 6.5\eta \left( \frac{k_B T}{m_n c^2} \right)^{3/2} \exp \left( -\frac{(m_D - m_p - m_n)c^2}{k_B T} \right).$$

هنا, نسبة الباريون إلى الفوتون  $\eta$  هي كثافة عدد الديوتيريوم.

[5] (T10.3a) مثل النسبة  $N_D/N_n$  على الرسم البياني في ورقة الإجابة الملخصة,

لما لا يقل عن 4 قيم متباينة بشكل معقول من درجة الحرارة التي تقع في النطاق  $k_B T = [60, 70] \text{ keV}$ , ورسم منحنى سلس يمر عبر هذه النقاط.

[1] (T10.3b) من الرسم البياني, أوجد  $k_B T_{\text{nuc}}$  (بالكيلو إلكترون فولت) عندما  $N_D = N_n$ .

[4] (T10.3c) بدلاً من ذلك, افترض الآن أن جميع النيوترونات الحرة تتدد فوراً مع البروتونات عند

$k_B T_{\text{nuc}}$  لتشكيل الديوتيريوم, والذي يتحول فوراً بالكامل إلى الهيليوم ( ${}^4_2\text{He}$ ).

احسب الدقابة المقابلة أو وقت النوى,  $t_{\text{nuc}}$  (بالثانية), لتكوين الهيليوم.

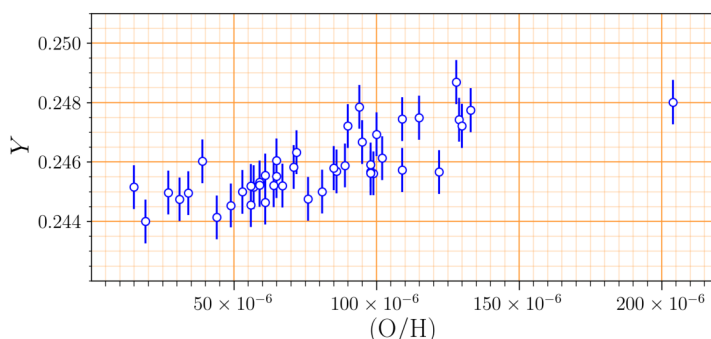
[5] (T10.4) احسب قيمة  $X_{n,\text{,nuc}}$  مباشرة قبل  $t_{\text{nuc}}$ .

[3] (T10.5) وفرة الهيليوم البدائية,  $Y_{\text{prim}}$ , تُعرف بأنها نسبة الكتلة الباريونية الإجمالية في الكون المرتبطة

في الهيليوم بعد  $t_{\text{nuc}}$  مباشرة. احصل على تقدير نظري لقيمة  $Y_{\text{prim}}$ . لغرض هذا الحساب فقط,

افترض أن  $m_p \approx m_n \approx 4m_{\text{He}}$  وأن كتلة الهيليوم،  $m_{\text{He}} \approx 4m_n$ .

(T10.6) من الصعب جدًا قياس الوفرة البدائية للهيليوم، حيث تقوم النجوم باستمرار بتحويل الهيدروجين إلى هيليوم في الكون. يتم توصيف مقدار المعالجة بواسطة النجوم في المجرة من خلال الكثافة العددية النسبية للأكسجين (الذي تنتجه النجوم فقط) إلى الهيدروجين، ويرمز لها بـ  $(\text{O}/\text{H})$ ، في المجرة. تم رسم تجميع لقياسات  $(\text{O}/\text{H})$  ووفرة الهيليوم،  $(\gamma)$ ، لمجرات مختلفة أدناه.



استخدم جميع النقاط في هذا الرسم البياني (المعاد إنتاجه في ورقة ملخص الإجابة) للإجابة على ما يلي.

[2] (T10.6a) قدر  $(\gamma)$  ل مجرة قزمة زرقاء مدمجة بقيمة  $(\text{O}/\text{H})=1.75 \times 10^{-4}$ .

[2] (T10.6b) احسب ميل  $(\text{O}/\text{H})/\gamma$  للخط المستقيم الذي يناسب البيانات أعلاه.

[2] (T10.6c) قدر الوفرة البدائية للهيليوم،  $Y_{\text{prim}}^{\text{obs}}$ , بناءً على الملاحظات أعلاه.

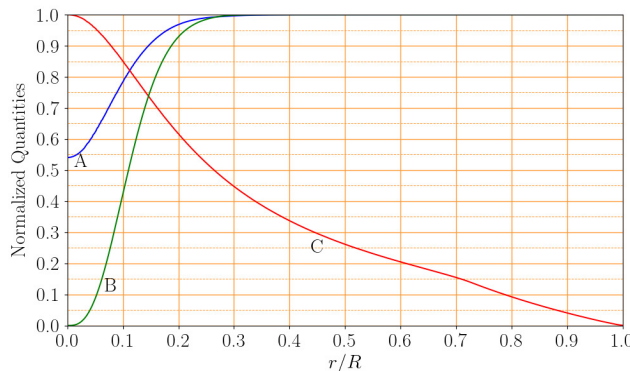
[3] يمكن مواءمة الانحراف بين  $Y_{\text{prim}}^{\text{obs}}$  و  $Y_{\text{prim}}$  عن طريق تغيير نسبة الباريون إلى الفوتون  $\eta$ . عندما تنخفض  $\eta$ , كما هو مشار إليه بـ ↓ في ورقة الإجابة الملخصة, عدد الزيادة (↑) أو النقصان (↓) في  $Y_{\text{prim}}$  و  $X_{n,\text{nuc}}$  و  $t_{\text{nuc}}$  و  $(N_D = N_n)$  و  $T_{\text{nuc}}$  في المربعات المتوفرة في ورقة الإجابة الملخصة.

**50 علامة**
**(T11) النجوم من خلال الرسوم البيانية**

يمكن تقريب النجوم بشكل جيد كأجسام منتاظرة كرويًّا، وبالتالي يمكن اختبار المسافة الشعاعية  $r$  من المركز  $\vec{r}(r)$  على أنه صافي الطاقة المتدايق إلى الخارج عبر سطح كروي نصف قطره  $r$  لكل وحدة زمنية. الكميات الأخرى ذات الاهتمام، على سبيل المثال، الكثافة  $\rho(r)$ , درجة الحرارة  $T(r)$ , نسبة كتلة الهيدروجين  $X(r)$ , نسبة كتلة الهيليوم  $Y(r)$ , والطاقة النووية المتولدة لكل وحدة كتلة لكل وحدة زمنية  $\epsilon_{\text{nuc}}(r)$ , تعتبر دوالاً لـ  $r$ . طوال هذه المسألة سوف نعمل تأثيرات الانتشار والترسيب الجاذبي للعناصر داخل النجم.

**(T11.1) الجزء 1: داخل نجم**

يوضح الرسم البياني أدناه تباين ثلاثة كميات هيكلية، A, B, و C، كدوال لنصف قطر الكسري  $r/R$  في نموذج نجمي بكتلة 1  $M_\odot$  و عمر 4 جيجا سنة، حيث  $R$  هو نصف قطر النجم الفوتوفيل. قيم نسبة كتلة الهيليوم على السطح,  $Y_s$ , والمعدنية (نسبة كتلة جميع العناصر الأُنبل من الهيليوم) على السطح,  $Z_s$ , للنجم معطاة بـ  $(Z_s, Y_s) = (0.02, 0.28)$ . جميع الكميات الموضحة في الرسوم البيانية مُطبقة بقيمها القصوى الخاصة بها.



[6] [T11.1a] حدد الكميات الثلاثة A و B و C بشكل فريد من بين الاحتمالات الخمسة:

$$T(r), l(r), \epsilon_{\text{nuc}}(r), X(r), Y(r).$$

(أكتب A/B/C في المربعات بجانب الكميات المناسبة في ورقة الإجابات الملخصة. لا حاجة لتبرير إجابتك).

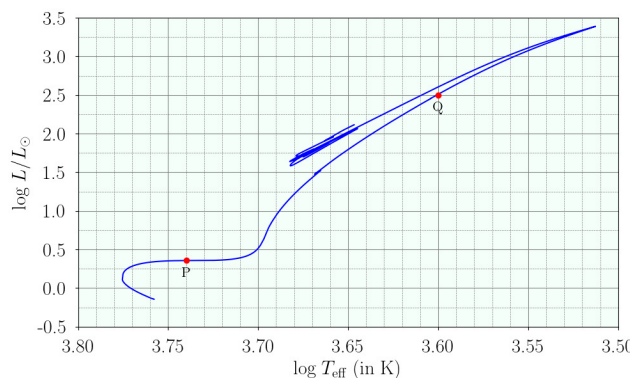
[3] [T11.1b] ما هي الكتلة الجزئية للهيليوم في المركز,  $Y_c$ , للنجم؟

[5] [T11.1c] ارسم الكميتين المتبقيتين من القائمة الخامسة (التي لم تُحدد كمئويات A أو B أو C) المذكورة في (T11.1a). كدوال لـ  $r/R$  على نفس الرسم البياني في ورقة الإجابات الملخصة، وقم بتسميتها بالكميات الخاصة بها.

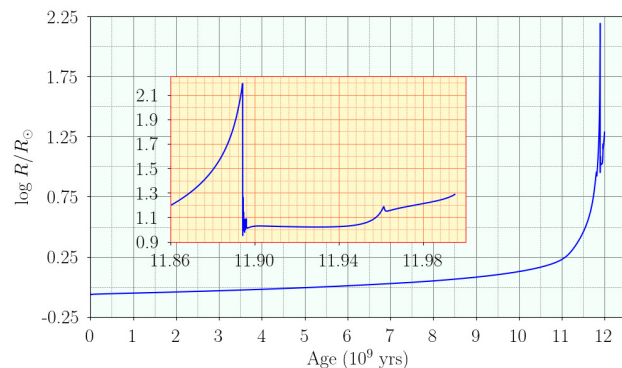
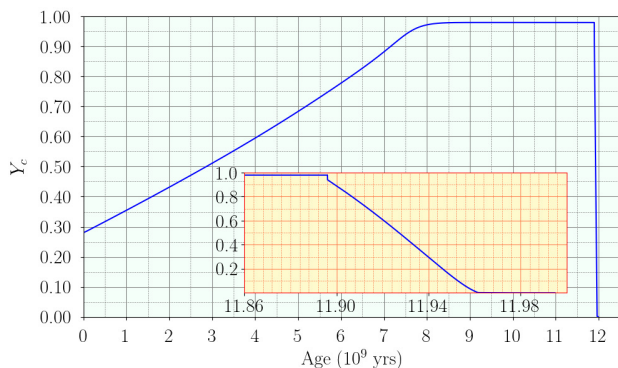
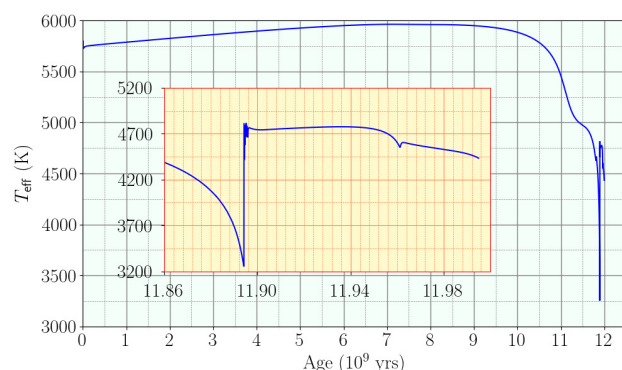
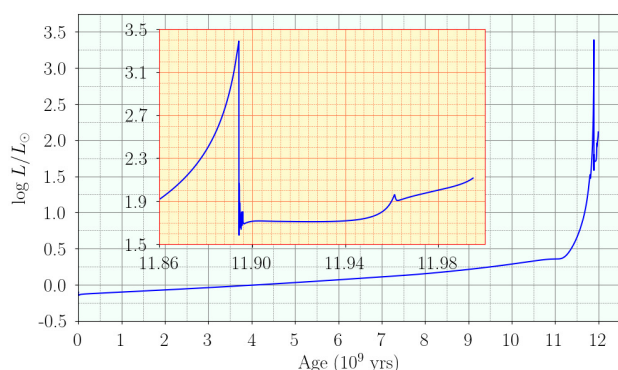
**(T11.2) الجزء 2: تطور النجوم**

اعتبر تطور نجم  $1M_{\odot}$  الذي يتكون في البداية بشكل موحد من خلال الكسورة الكتالية للهيليوم،  $Z_0 = 0.02$ ،  $Y_0 = 0.28$ ، والمعادن،  $\log T_{\text{eff}} \approx 3.60$  (السلسل الرئيسي لعمر الصفر) حتى نهاية احتراق الهيليوم في نواته.

يوضح الرسم البياني أدناه مسار تطور النجم على مخطط  $\log L/L_{\odot}$  مقابل  $\log T_{\text{eff}}$  (رسم HR) حيث  $L$  هو اللumen السطحي و  $T_{\text{eff}}$  هو درجة الحرارة الفعالة).



الشكل أدناه يحتوي على أربعة رسوم بيانية تُظهر تغير  $T_{\text{eff}}$ ،  $L$  (بالكلفن)،  $R$  (بالكيلومترات)،  $Y_c$  مع العمر ( $10^9$  سنة) لنفس النجم. في كل من هذه الرسوم البيانية الأربع، تُظهر المربعات الصغيرة التغيرات في الكميات المعنية بالتفصيل بين الأعمار  $11.86 \times 10^9$  سنة إلى  $12.00 \times 10^9$  سنة، لمزيد من الوضوح.



استخدم هذه الرسوم البيانية للإجابة على الأسئلة أدناه.

- [1] ما هو العمر التقريبي في التسلسل الرئيسي،  $t_{\text{MS}}$  (بالسنوات)، للنجم؟ (T11.2a)

[1] ما هي العدة التقريبية،  $\Delta t_{\text{He}}$  (بالسنوات)، التي يحرق فيها النجم الهيليوم في نواته؟ (T11.2b)

[3] ما هي النسبة،  $f_{\text{H}}$ ، من الهيدروجين الأولي في مركزه الذي تم حرقه عندما يكون لمعان النجم 1  $L_{\odot}$ ؟ (T11.2c)

[3] ما هو نصف قطر النجم،  $R_1$  (بوحدات R) عندما يتم حرق 60% من الكمية الأولية من الهيدروجين في مركزه؟ (T11.2d)

[4] ما هي أنصاف أقطار النجم،  $R_P$  و  $R_Q$  (بوحدات  $R_{\odot}$ )، التي تتوافق مع موضعه P و Q، على التوالي، كما هو موضح في مخطط HR؟ (T11.2e)

### الجزء 3: توزيع الكتلة داخل النجم (T11.3)

المعادلة التي تحكم توزيع الكتلة داخل النجم تُعطى بواسطة

$$\frac{dm(r)}{dr} = 4\pi r^2 \rho(r)$$

سيكون من الملائم التعبير عن هذه المعادلة من حيث ثلاثة متغيرات بلا أبعاد، وهي الكتلة النسبية،  $q$ ، نصف القطر النسبي،  $x$ ، والكثافة النسبية،  $\sigma$ ، التي نعرفها كالتالي

$$q = m/M \quad x = r/R \quad \sigma = \rho/\bar{\rho}$$

حيث  $M$  و  $R$  هما الكتلة الكلية ونصف القطر الكلي للنجم، على التوالي، و  $\bar{\rho} = \frac{M}{\frac{4}{3}\pi R^3}$  هي الكثافة المتوسطة للنجم. بالنسبة للنجم المحدد الذي سننظر فيه في هذا الجزء، تُعطى المعلومات التالية:

- الكثافة المركزية  $\sigma(x=0) = 80\bar{\rho}$
- نصف كتلة النجم موجودة داخل 25% من نصف قطره الكلي، و70% من كتلته موجودة داخل 35% من نصف قطره الكلي.

في جميع الأجزاء اللاحقة من هذا السؤال، سيكون من الكافي تقريب جميع المعاملات العددية المستنيرة إلى 0.005.

[2] عبر عن المعادلة أعلاه التي تصف اعتماد الكتلة على نصف القطر من حيث  $x$ ،  $\sigma(x)$  و (T11.3a)

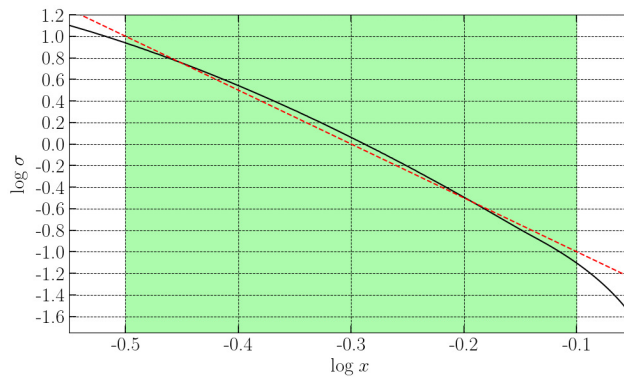
للحصول على توزيع الكتلة مع نصف القطر، نحتاج إلى معرفة توزيع الكثافة داخل النجم. من أجل هذه المسألة، سوف نصف تغير الكثافة مع نصف القطر بأشكال تقريبية في مجالين من  $x$ :

- الجزء الداخلي من النجم:  $0 \leq x \leq 0.32$
- الجزء الأوسط من النجم:  $0.32 < x < 0.80$

لا نقوم بأي تقريب للجزء الخارجي، أي  $0.80 \leq x \leq 1.00$

### التقريب للجزء الأوسط: (T11.3b)

يظهر تغير  $\sigma$  كدالة لـ  $\log x$  في الجزء الأوسط من النجم (بالمنحنى الأسود) في الرسم البياني أدناه. سنقوم بعمل تقرير خططي (يظهر خط أحمر متقطع في الرسم البياني) لـ  $\log x$  كدالة لـ  $\sigma$  في المجال  $-0.5 < \log x < -0.1$ , أي  $0.32 \leq x \leq 0.80$  (يظهر بالعجال المظلل بالأخضر). بالإضافة إلى ذلك، سنقوم بتقرير ميل هذا الخط إلى أقرب عدد صحيح.



- [4] استخدم هذا التقرير لكتابه تعبير  $L(x)$  كدالة لـ  $x$  في المجال  $0.32 < x < 0.80$
- [6] استخدم نتيجة (T11.3b) لاشتقاق تعبير  $L(x)$  كدالة لـ  $q(x)$  في المجال  $0.32 < x < 0.80$

#### التقرير للجزء الداخلي: (T11.3d)

- [8] في الجزء الداخلي من النجم ( $x \leq 0.32$ ), يمكن تقرير الكثافة كدالة خطية لنصف القطر, أي  $\sigma(x) = Ax + B$ , حيث  $A, B$  هما ثوابت. حدد  $A$  و  $B$ , ومن ثم احصل على تعبير  $L(x)$  في المجال  $0.32 \leq x \leq 0.80$ . لاحظ أن التقريرات المتبقية في الجزء السابق وهذا الجزء قد تؤدي إلى انقطاعات صغيرة في الكثافة أو الكتلة عند  $x = 0.32$ .

- [4] (T11.3e) التعبيرات  $L(x)$  التي تم الحصول عليها في الأجزاء (T11.3c) و (T11.3d) هي تقريرات تصف تغير الكتلة مع نصف القطر بشكل جيد، ولكن فقط في مناطق محددة من النجم. بالنسبة للمجال  $1 \leq x \leq 0.80$  (الذي لم يستخرج له أي تعبير)، من الممكن استخدام الاستقراء المناسب من المنطقة المجاورة. استخدم هذه التعبيرات التقريرية والبيانات المعطاة لرسم منحنى سلس (بدون أي انقطاعات سواء في  $q(x)$  أو مشتقته)  $L(x)$  مقابل  $x$  لكامل النجم ( $1 \leq x \leq 0$ ) الذي يمثل تغير الكتلة مع نصف القطر.

#### [50] علامة

#### (T12) إشعاع هوكيينغ من الثقوب السوداء

(T12.1) يتشكل الثقب الأسود عادةً نتيجة الانهيار الجاذبي لنجم ضخم في نهاية دورة حياته إلى نقطة تُسقّى التفرد (Singularity). بسبب الجاذبية الشديدة لهذا الجسم، لا يمكن لأي شيء يدخل ما يُسقّى أفق الحدث (وهو سطح كروي عند  $r = R_{SC}$ , حيث  $r$  هي المسافة من التفرد) أن يهرب منه. هنا، يُشار إلى  $R_{SC}$  على أنه نصف قطر شوارتزشيلد.

**(T12.1a) نمذجة أصل إشعاع هوكيينغ:** افرض جسمين، كل منها بكتلة  $m$ . يوجدان على جانبى أفق الثقب الأسود. يكون أحد الجسيمات خارج الأفق قليلاً عند  $R_{SC} \approx r$ , بينما يكون الجسم الآخر داخل الأفق عند  $r = \kappa R_{SC}$ . افترض أن الطاقة الكلية للجسم هي مجموع طاقة كتلته الساكنة  $mc^2$  وطاقة الجاذبية بسبب الثقب الأسود.

- [4] حدد قيمة  $\kappa$  التي تكون عندها الطاقة الكلية تساوي صفرًا.

**(T12.1b) درجة حرارة الثقب الأسود:** إذا كان الجسم الناتج خارج الأفق في العملية أعلاه يمتلك طاقة حرارية كافية، فقد يمكن من الهروب من الثقب الأسود في عملية تسخين إشعاع هوكيينغ. أما الجسم داخل الأفق، الذي يمتلك طاقة سالبة، فيتم امتصاصه مما يقلل من كتلة الثقب الأسود.

افترض أن كل إشعاع هوكيينغ يتكون من فوتونات ذات طيف جسم أسود تصل ذروته عند الطول الموجي  $\lambda_{bb} \approx 16R_{SC}$ . ومن المعروف أن الثقب الأسود بكتلة شمسية له نصف قطر شوارزشيلد  $R_{SC,\odot} = 2.952 \text{ km}$ .

- [4] استخرج تعبيراً لدرجة الحرارة  $T_{bh}$  للثقب الأسود المرتبط بهذا الإشعاع للجسم الأسود، بدلالة كتلته  $M_{bh}$  والثوابت الفيزيائية. احسب نصف قطر شوارزشيلد  $R_{SC,\odot}$  للثقب أسود بكتلة  $M_{\odot} = 10$ .

**(T12.1c) فقدان الكتلة للثقب الأسود:** افترض أن إشعاع هوكيينغ ينبع من أفق الحدث.

باستخدام معادلة تكافؤ الكتلة والطاقة، عبر عن معدل فقدان الكتلة،  $dM_{bh}(t)/dt$ ، بدلالة الكتلة  $M_{bh}(t)$  للثقب الأسود والثوابت الفيزيائية.

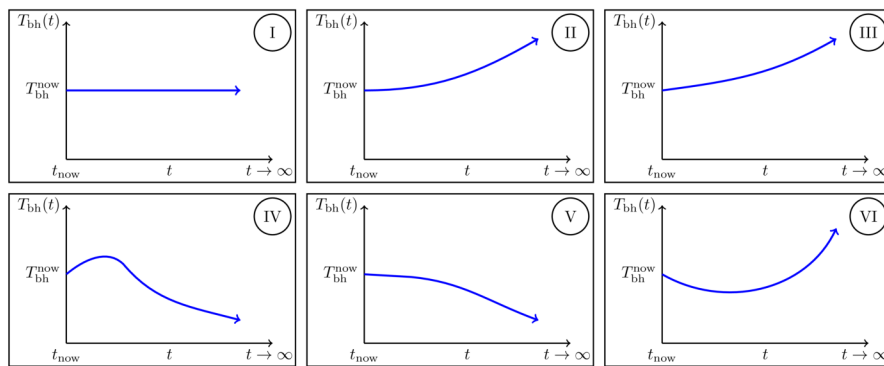
- [8] وبالتالي، احصل على تعبيير لكتلة الثقب الأسود  $M_{bh}(t)$  اذا كانت كتلته الابتدائية  $M_{bh} = M_0$  من  $t$  إلى  $0$ . ارسم  $M_{bh}(t)$  كدالة لـ  $M_0$ .

- [3] **(T12.1d) عمر الثقب الأسود:** احصل على تعبيير لزمن  $\tau_{BH}$  الذي عنده يتذرث ثقب أسود بكتلة ابتدائية  $M_0$  تماماً نتيجة إشعاع هوكيينغ، بدلالة  $M_0$  والثوابت الفيزيائية. احسب العمر  $\tau_{bh} = 10 M_{\odot}$  (بالثواني) لثقب أسود بكتلة  $M_{bh,10\odot}$ .

يمكن لكتلة الثقب الأسود أن تزداد عن طريق امتصاص إشعاع CMB، ويفقد كتلته عن طريق إشعاع هوكيينغ.

**(T12.1e) الثقب الأسود في حوض إشعاع CMB:** اعتبر ثقباً أسود معزولاً في الفضاء، بعيداً عن الأجسام الأخرى، بدرجة حرارة حالية  $T_{bh}^{now}$ ، محاطاً بالخلفية الكونية المايكرويفية (CMB) بدرجة حرارة حالية K.  $T_{cmb}^{now} = 2.7 \text{ K}$

مع الأخذ في الاعتبار التوسيع المتتسارع للكون، حدد أي من الأشكال التالية يظهر التطور الزمني طويل الأمد لـ  $T_{bh}^{now}$  في الحالات الثلاث التالية:  
(X)  $T_{bh}^{now} > T_{cmb}^{now}$ , (Y)  $T_{bh}^{now} = T_{cmb}^{now}$ , (Z)  $T_{bh}^{now} < T_{cmb}^{now}$ .



- [6] حدد إجابتك بوضع علامة في المربع المناسب (واحد فقط) لكل حالة Y, X أو Z في الجدول المعطى في ورقة الإجابات الملخصة المقابلة لرقم الشكل المناسب.

(T12.2) يمكن أن تتشكل الثقوب السوداء البدائية (PBHs) ذات الكتل الأصغر بكثير في وقت مبكر في الكون. جميع الأسئلة التالية تتعلق بالثقوب السوداء البدائية. يمكن إهمال أي عمليات تزيد من كتلة الثقب الأسود.

(T12.2a) **تبخر الثقوب السوداء البدائية في العصر الحالي:** كما قد تكون لاحظت من الإجابات على الأسئلة السابقة، فإن الثقوب السوداء ذات الكتلة الشمسية ستستغرق وقتاً طويلاً لتتبخر. ومع ذلك، نظراً لأن الثقوب السوداء البدائية يمكن أن تكون ذات كتلة أصغر بكثير، فقد تتمكن من رؤيتها تتبخر في الأوقات الحالية.

- [4] أوجد الكتلة الأولية  $M_{0, PBH}$  (بالكيلوغرام)، ونصف قطر شوارزشيلد  $R_{SC, PBH}$  (بالمتر)، ودرجة الحرارة  $T_{PBH}$  (بالكلفن) للثقب الأسود الذي قد يكون في طور التبخر الكامل في العصر الحالي، أي تلك التي لها عمر  $14 = \tau_{PBH}$  مليار سنة.

(T12.2b) **تكوين ثقب أسود بدائي (PBH):** في الكون المبكر المهيمن عليه الإشعاع، يتغير معامل المقياس بالمعادلة  $a(t) \sim t^{1/2}$ . في هذه الحقبة، تتكون الثقوب السوداء البدائية نتيجة لانهيار كل الطاقة المحتواة في منطقة بحجم فينزيائي  $ct$ ، حيث  $t$  هو عمر الكون في ذلك الوقت.

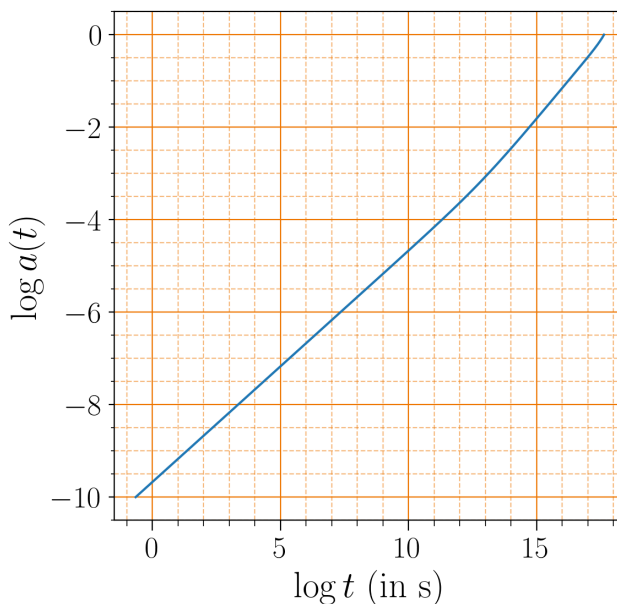
- [6] يتكون ثقب أسود بدائي بكتلة  $1 \times 10^{12} \text{ kg}$  عندما يكون عمر الكون حوالي  $1 \times 10^{-23} \text{ s}$ . احسب عمر الكون،  $t_{20}$ ، عندما يتكون ثقب أسود بدائي بكتلة  $1 \times 10^{20} \text{ kg}$ .

(T12.2c) **الطيف المرصود لإشعاع هوكينغ من PBH:** اعتبر PBH بكتلة ابتدائية  $1 \times 10^{10} \text{ kg}$  والذي يتتبخر تماماً في نهاية عمره  $\tau_{PBH}$ . لتبسيط المسألة، افترض أن معظم إشعاع هوكينغ ينبع في هذا الوقت، مع درجة حرارة تتوافق مع كتلته الابتدائية. أيضاً، اعتبر أن عامل المقياس للكون يتغير بالعلاقة  $a(t) \sim t^{2/3}$ .

- [5] احسب الطول الموجي الذي يكون عنده أعلى شدة لإشعاع هوكينغ عند رصده على الأرض،  $\lambda_{\text{earth}}$ ، في العصر الحالي (عند  $t = 14$  مليار سنة).

(T12.2d) **الإشعاع الكوني عالي الطاقة من الثقوب السوداء البدائية:** افترض الآن أن إشعاع هوكينج المنبعث في وقت معين  $t$  يتتوافق مع فوتونات منبعثة بطاقة  $(t) k_B T_{bh}(t)$ . أيضاً، أعلى درجة حرارة ممكنة للثقب الأسود هي درجة حرارة بلانك  $T_{\text{Planck}}$  حيث  $k_B T_{\text{Planck}} = 1 \times 10^{19} \text{ GeV}$ .

يظهر تطور عامل المقياس عبر النطاقات الزمنية ذات الصلة في الشكل التالي. تم تعين عامل المقياس اليوم ليكون واحداً. ( $s$ ) على محور الزمن يمثل عمر الكون بالثواني.



- [10] إذا تم رصد فوتون بطاقة  $E_{\text{det}} = 3.0 \times 10^{20} \text{ eV}$  على الأرض، حدد القيم القصوى والدnya الممكنة للكتلة الأولية للثقب الأسود الأولي ( $M_0^{\min}$  و  $M_0^{\max}$ ) على التوالي) والتي يمكن أن تكون مسؤولة عن هذا الفوتون.